

НЕУСТОЙЧИВОСТЬ КРУТИЛЬНЫХ ВОЛН В СТЕРЖНЯХ  
С ПОДВИЖНЫМИ ЗАКРЕПЛЕНИЯМИ

А. И. ВЕСНИЦКИЙ, С. В. КРЫСОВ, А. И. ПОТАПОВ

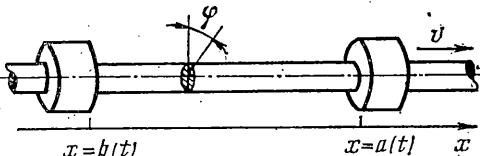
(Горький)

При обсуждении вопроса о параметрическом возбуждении колебаний часто приходится система, представляющая собой вал с диском, вдоль которого совершает поступательные движения шлицевая втулка, не проворачивающаяся относительно вала [1, 2]. В тех случаях, когда период движения втулки значительно больше времени распространения крутильных волн вдоль системы, обычно считают, что изменение длины вала приводит лишь к периодическому изменению его эффективной жесткости на кручение. При этих предположениях система ведет себя как сосредоточенная и ее колебания описываются уравнением Маттье.

С ростом же частоты колебаний втулки, когда период ее движения становится сравним со временем пробега волн, последними уже нельзя пренебречь, и исследуемую систему необходимо рассматривать как распределенную. Происходящие при этом процессы носят волновой характер и описываются уравнениями в частных производных с краевыми условиями на движущихся границах [3, 4]. В этом случае параметрическая неустойчивость имеет ряд особенностей и может, в частности, приводить к возбуждению колебаний импульсной формы [5-7].

В предлагаемой работе на примере крутильных волн в стержне строится теория параметрической неустойчивости одномерных систем с движущимися границами. Показывается, что основной причиной неустойчивости является двойной эффект Доппеля, а возрастание энергии колебаний сопровождается расширением их спектра, приводящим к возбуждению волн импульсной формы. Отмечается, что если граница движется быстрее волн, то в системе возникают ударные волны. Приводятся результаты экспериментальных исследований, подтверждающие теоретические выводы.

1. В качестве исследуемой модели рассмотрим цилиндрический стержень радиуса  $R$ , протягиваемый с постоянной скоростью  $v$  через втулки, которые, в свою очередь, двигаются по некоторым законам  $x=a(t)$  и  $x=b(t)$  (фиг. 1). Втулки не проворачиваются из-за наличия в них шипов и продольных канавок в стержне<sup>1</sup>.



Фиг. 1

Крутильные волны в такой системе описываются уравнением

$$\frac{\partial^2 \varphi}{\partial t^2} - (c^2 - v^2) \frac{\partial^2 \varphi}{\partial x^2} + 2v \frac{\partial^2 \varphi}{\partial x \partial t} = 0, \quad c = \sqrt{\frac{G}{\rho}} \quad (1.1)$$

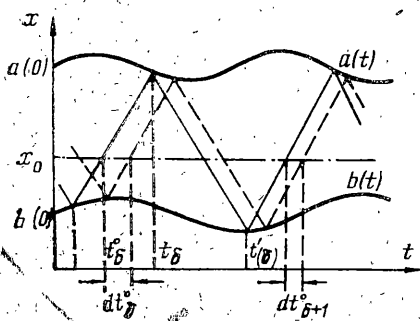
<sup>1</sup> Подобная ситуация может реализоваться, например, при волочении проволоки.

с краевыми и начальными условиями

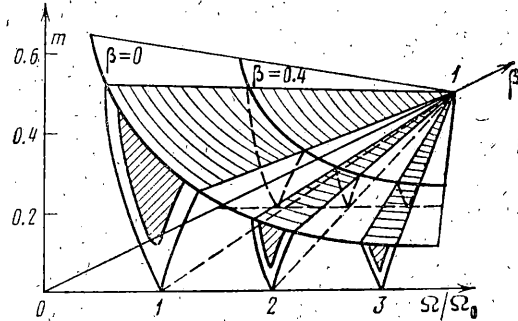
$$\varphi|_{x=b(t)} = \varphi|_{x=a(t)} = 0 \quad (1.2)$$

$$\varphi|_{t=0} = \varphi_0(x), \quad \frac{\partial \varphi}{\partial t} \Big|_{t=0} = \Psi_0(x) \quad (b(0) \leq x \leq a(0)) \quad (1.3)$$

Здесь  $\varphi(x, t)$  — угол закрутки стержня в сечении  $x$ ,  $c$  — скорость распространения крутильных волн,  $\rho, G$  — соответственно линейная плотность стержня и модуль сдвига.



Фиг. 2



Фиг. 3

Записывая  $\varphi(x, t)$  в виде суммы двух бегущих волн

$$\varphi(x, t) = f[t+x/(c-v)] + h[t-x/(c+v)] \quad (1.4)$$

и подставляя в краевые условия (1.2), получаем систему функциональных уравнений

$$\begin{aligned} f\left[t + \frac{b(t)}{c-v}\right] + h\left[t - \frac{b(t)}{c+v}\right] &= 0 \\ f\left[t + \frac{a(t)}{c-v}\right] + h\left[t - \frac{a(t)}{c+v}\right] &= 0 \end{aligned} \quad (1.5)$$

Для выявления качественных особенностей решений (1.5) удобно проследить за распространением волн в системе с помощью соответствующих графических построений на пространственно-временной плоскости  $(x, t)$  (фиг. 2). Из фиг. 2 видно, что каждая точка профиля волны движется на плоскости  $(x, t)$  вдоль своей траектории, являющейся ломаной линией, составленной из отрезков характеристик уравнения (1.4):  $t-x/(c+v)=\text{const}$  и  $t+x/(c-v)=\text{const}$ , заключенных между границами кривыми  $x=b(t)$  и  $x=a(t)$ .

Величины смещений бегущих волн  $f$  и  $h$  в процессе их взаимодействия с движущимися границами, как это следует из (1.5), не изменяются. Происходит лишь их деформация: сжатие или растяжение. Проследим за движением одного из участков волны длительностью  $\Delta t$ , заключенного между двумя близкими точками ее профиля  $x$  и  $x+\Delta x$ , вдоль соответствующих траекторий. Ее длительность изменяется только в результате взаимодействия волны с границами. Она уменьшается, если граница движется навстречу волне, и увеличивается, если граница и волна движутся в одном направлении.

2. Рассмотрим, как изменяется с течением времени длительность указанного участка волны в фиксированном сечении системы  $b(t) < x_0 < a(t)$ . Для этого запишем соотношения, связывающие моменты двух последовательных ( $\delta$ -го и  $\delta+1$ -го) прохождений волны  $h(t-x/(c+v))$  через сечение  $x_0$  (фиг. 2)

$$t_\delta - t_\delta' = \frac{a(t_\delta) - x_0}{c+v}, \quad t_{\delta'} - t_\delta = \frac{a(t_\delta) - b(t_\delta')}{c-v}, \quad t_{\delta+1} - t_{\delta'} = \frac{x_0 - b(t_\delta')}{c+v} \quad (2.1)$$

Представляя их для малых приращений  $dt$  в дифференциальной форме, находим

$$\frac{dt_{\delta+1}^{\circ}}{dt_{\delta}^{\circ}} = D_a(t_{\delta})D_b(t_{\delta}'), \quad (2.2)$$

$$D_a(t_{\delta}) = \frac{1+a^*(t_{\delta})/(c-v)}{1-a^*(t_{\delta})/(c+v)}, \quad D_b(t_{\delta}') = \frac{1-b^*(t_{\delta}')/(c+v)}{1+b^*(t_{\delta}')/(c-v)}.$$

Отсюда видно, что при взаимодействии с движущимися границами изменение длительности участка волны  $dt = dx/(c \pm v)$  подчиняется закону двойного эффекта Допплера<sup>1</sup>. При этом, если выражение, стоящее в правой части (2.2), меньше единицы, то для рассматриваемого участка преобладает сжатие, и, кроме того, его энергия увеличивается в  $dt_{\delta+1}^{\circ}/dt_{\delta}$  раз. Действительно, изменение плотности энергии бегущих волн  $f$  и  $h$ :

$$\varepsilon_f = \gamma [1 + (1 - v/c)^2] [f'(t+x/(c-v))] \quad \gamma = \frac{\pi R^4}{4} \rho$$

$$\varepsilon_h = \gamma [1 + (1 + v/c)^2] [h'(t-x/(c+v))]$$

происходит лишь в процессе их взаимодействия с движущимися границами в моменты времени  $t_{\delta}$  и  $t_{\delta}'$ . В эти моменты значения  $f$  и  $h$  связаны между собой следующими соотношениями:

$$f' \left[ t_{\delta} + \frac{a(t_{\delta})}{c-v} \right] = - \frac{1}{D_a(t_{\delta})} h' \left[ t_{\delta} - \frac{a(t_{\delta})}{c+v} \right]$$

$$h' \left[ t_{\delta}' - \frac{b(t_{\delta}')}{c+v} \right] = - \frac{1}{D_b(t_{\delta}')} f' \left[ t_{\delta}' + \frac{b(t_{\delta}')}{c-v} \right]$$

которые получаются дифференцированием (1.5). Учитывая, что в промежутки времени между отражениями от границ выражения  $f'[t+x/(c-v)]$  и  $h'[t-x/(c+v)]$  сохраняют постоянные значения, находим связь между плотностями энергий бегущей волны  $\varepsilon$  в сечении  $x_0$  в моменты времени  $t_{\delta}^{\circ}$  и  $t_{\delta+1}^{\circ}$ :

$$\varepsilon_h(t_{\delta+1}^{\circ}) = \varepsilon_h(t_{\delta}^{\circ}) [D_a(t_{\delta})D_b(t_{\delta}')]^{-2} \quad (2.3)$$

Изменение же энергии участка волны с учетом (2.2) и (2.3) равно

$$\frac{dW_{\delta+1}^{\circ}}{dW_{\delta}^{\circ}} = \frac{\varepsilon_h(t_{\delta+1}^{\circ}) dt_{\delta+1}^{\circ}}{\varepsilon_h(t_{\delta}^{\circ}) dt_{\delta}^{\circ}} = \frac{1}{D_a(t_{\delta})D_b(t_{\delta}')} = \frac{dt_{\delta}^{\circ}}{dt_{\delta+1}^{\circ}} \quad (2.4)$$

Заметим, что если граница системы обладает линейными потерями, то изменение энергии волны в результате однократного отражения от движущихся границ будет меньше в  $(\Gamma_1 \Gamma_2)^2$  раз, где  $\Gamma_1, 2$  — коэффициенты отражения волн от границ системы. При последовательных взаимодействиях с каждой из границ энергия начального участка волны изменяется следующим образом:

$$\frac{dW_k}{dW_1} = \Gamma^{2k} \prod_{\delta=1}^k \frac{1}{D_a(t_{\delta})D_b(t_{\delta}')}, \quad \Gamma = \Gamma_1 \Gamma_2 \quad (2.5)$$

где  $t_{\delta}$  и  $t_{\delta}'$  определяются из решения  $2k+1$  уравнения типа (2.1).

<sup>1</sup> По такому же закону изменяются и «мгновенные частоты» собственных колебаний системы [3, 4].

Следовательно, неограниченное нарастание энергии в системе при  $t \rightarrow \infty$  ( $k \rightarrow \infty$ ) будет иметь место, если существует хотя бы один участок волны, для которого выполняется следующее условие:

$$\Gamma^{-2k} \prod_{\delta=1}^k [D_a(t_\delta) D_b(t'_\delta)]|_{k \rightarrow \infty} \rightarrow 0 \quad (2.6)$$

Последнее является критерием неустойчивости систем с движущимися границами. Оно показывает также, что увеличение энергии волны неизбежно сопровождается ее сжатием.

Исследование условия (2.6) в его общем виде затруднительно. Поэтому ограничимся далее рассмотрением одного из наиболее интересных случаев, когда границы системы движутся по периодическим законам и имеют общий период  $T = pT_1 = qT_2$  ( $p, q = 1, 2, 3, \dots$ ), где  $T_1$  и  $T_2$  — периоды движения границ  $x = a(t)$  и  $x = b(t)$ .

Допустим, что существует такой участок волны, который каждый  $k$ -й раз взаимодействует с движущимися границами в одной и той же фазе их движения, т. е.

$$t_k = t_1 + NT, \quad t'_k = t'_1 + NT, \quad (N, k = 1, 2, 3, \dots)$$

При этом каждые  $k$  сомножителей в (2.6) будут периодически повторяться, и условие неустойчивости сводится к неравенству

$$\prod_{\delta=1}^k [D_a(t_\delta) D_b(t'_\delta)] < \Gamma^{2k} \quad (2.7)$$

где  $t_\delta$  и  $t'_\delta$  определяются из системы  $2k+1$  уравнений

$$t'_1 - t_1 = \frac{a(t_1) - b(t'_1)}{c-v}, \quad t_2 - t'_1 = \frac{a(t_2) - b(t'_2)}{c+v}, \dots \quad (2.8)$$

$$t_k - t'_{k-1} = \frac{a(t_k) - b(t'_{k-1})}{c+v}, \quad t_k = t_1 + NT$$

Таким образом, в данном случае определение режимов неустойчивости свелось к нахождению условий существования решений системы (2.8), для которых выполняется неравенство (2.7). Эти условия являются необходимыми и достаточными. При  $k=1$  систему (2.8) можно заменить одним уравнением

$${}^{1/2} N c T (1 - v^2/c^2) = a(t_1) - b(t'_1) \quad (2.9)$$

Условие (2.7) при этом примет следующий вид:

$$D_a(t_1) D_b(t'_1) < \Gamma^2, \quad t'_1 = t_1 + {}^{1/2} N T (1 + \beta), \quad \beta = v/c \quad (2.10)$$

Его смысл состоит в том, что в режиме параметрической неустойчивости энергия, поступающая в систему, должна превышать потери в ней.

3. В качестве примера применим изложенный выше метод к исследованию неустойчивости крутильных волн в стержне, у которого одна из втулок неподвижна ( $x = b(t) = 0$ ), а другая колеблется по периодическому закону  $x = a_0 [1 + m \sin \Omega t]$ , где  $a_0$ ,  $\Omega = 2\pi/T$  и  $m < 1$  — постоянные величины (фиг. 1). В этом случае уравнение (2.9) и условие существования его решений запишутся в виде

$${}^{1/2} N c T (1 - \beta^2) = a_0 (1 + m \sin \Omega t)$$

$$\left| N \frac{\Omega_0}{\Omega} (1-\beta^2) - 1 \right| = \left| \frac{\Delta \Omega}{\Omega} \right| \leq m \sin \Omega t, \quad (3.1)$$

$$\Omega_0 = \frac{\pi c}{a_0}, \quad \Delta \Omega = [N\Omega_0(1-\beta^2) - \Omega]$$

где  $\Delta \Omega$  — расстройка. Условие (2.10) выполняется, если

$$\cos \Omega t_1 < - \frac{\Omega_0(1-\beta^2)}{\pi m \Omega} \left( \beta + \frac{1+\Gamma^2}{1-\Gamma^2} \right)^{-1} \quad (3.2)$$

Из (3.1), (3.2) и условия  $|a'| < c-v$  находим неравенства, определяющие области параметрической неустойчивости

$$\begin{aligned} \left| \frac{\Delta \Omega}{\Omega} \right| &< m \left\{ 1 - \left[ \frac{\Omega_0(1-\beta^2)}{\pi m \Omega} \left( \beta + \frac{1+\Gamma^2}{1-\Gamma^2} \right) \right]^2 \right\}^{1/2} \\ (1-\beta^2) \frac{\Omega_0}{\pi \Omega} \left( \beta + \frac{1+\Gamma^2}{1-\Gamma^2} \right)^{-1} &\leq m < \frac{\Omega_0}{\pi \Omega} (1-\beta) \end{aligned} \quad (3.3)$$

Второе из них указывает на то, что в системе с потерями существует порог параметрического возбуждения.

В (3.3) входят пять независимых параметров  $\Omega/\Omega_0$ ,  $m$ ,  $\beta$ ,  $\Gamma$  и  $N$ , причем  $N$  может принимать лишь целочисленные значения, каждому из которых в пространстве параметров соответствует своя зона неустойчивости. Последние не имеют общих точек и поэтому значение  $N$  удобно понимать как номер зоны<sup>1</sup>.

На фиг. 3 показаны первые три зоны неустойчивости. Сверху они ограничены поверхностью  $m=\Omega_0(1-\beta)/\pi\Omega$ , за которой максимальная скорость движения границы превышает скорость распространения волн (т. е. в некоторые промежутки времени граница становится «сверхзвуковой»).

Этот случай не может рассматриваться в рамках выбранной модели, так как задача (1.1)–(1.3) становится некорректной<sup>[3]</sup>. Однако физически такая ситуация вполне реализуема, и, как показали экспериментальные исследования, в этом случае возбуждаются ударные волны.

Увеличение скорости протяжки вала приводит к сужению зон и смещению их в область более низких частот. В пределе при  $\beta \rightarrow 1$  все зоны сжимаются в одну точку.

Инкремент нарастания энергии колебаний  $\sigma$  для центров зон ( $\Omega=N\Omega_0(1-\beta^2)$ ) равен

$$\sigma = \frac{1}{T} \ln \frac{dW(t+T)}{dW(t)} = \frac{1}{T} \ln \left[ \Gamma^2 \frac{1+Nm\pi(1-\beta)}{1-Nm\pi(1+\beta)} \right]$$

Отсюда видно, что он увеличивается с ростом номера зоны  $N$ , а порог возбуждения понижается (заштрихованные области на фиг. 3 при  $\beta=0$ ). Это естественно, так как с ростом  $N$  увеличивается частота колебаний границы, а значит, и скорость ее движения при том же коэффициенте модуляции  $m$ . Увеличение же скорости движения приводит к увеличению энергий, передаваемой импульсу при каждом отражении от границы, т. е. к росту инкремента. Следовательно, для рассматриваемой системы необходим учет не только первой, но и высших зон неустойчивости, что является одной из ее характерных особенностей. Надо также отметить, что максимальное число одновременно возбуждаемых в системе импульсов равно номеру зоны.

В случае синхронно колеблющихся границ<sup>[3, 5]</sup>:

$$x=ma_0 \sin(\Omega t+\theta), \quad x=a_0(1+m \sin \Omega t)$$

зоны неустойчивости при  $\Gamma=1$  определяются неравенствами

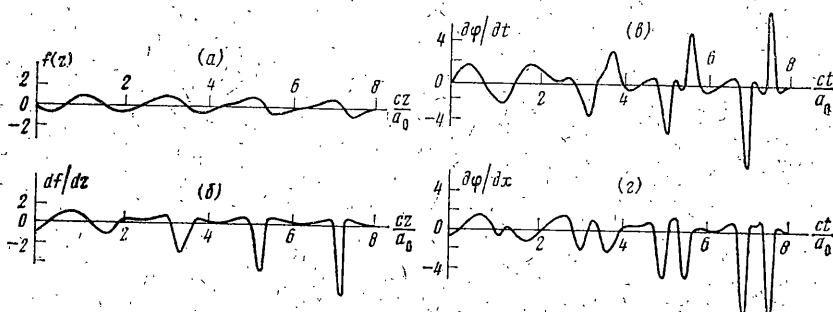
$$\left| \frac{\Delta \Omega}{\Omega} \right| < 2m \sin \left[ \frac{N\pi}{2} (1+\beta) + \frac{\theta}{2} \right], \quad 0 < m < \frac{\Omega_0}{\pi \Omega} (1-\beta)$$

<sup>1</sup> В отличие от сосредоточенных систем, где частота изменения параметров уменьшается с ростом номера зоны ( $\Omega=2\Omega_0/N$ ), в данном случае частота колебаний границы увеличивается с ростом ее номера ( $\Omega \sim N\Omega_0$ ).

Их ширина уже немонотонно зависит от  $\beta$  и разности фаз  $\theta$  между колебаниями границ. В частности, зоны вырождаются в отрезки прямых, если выполнено условие  $\sin \frac{1}{2}[\pi N(1+\beta) + \theta] = 0$ .

Изложенный метод отыскания режимов параметрической неустойчивости по своей идеи близок к методу точечных отображений в теории нелинейных колебаний [8]. В данном случае пространственно-временная плоскость  $(x, t)$  служит фазовой, роль кривых без контакта играют траектории границ. Отрезки характеристик волнового уравнения, заключенные между этими кривыми, осуществляют точечное отображение. Система уравнений (2.8) представляет собой функцию последовательности, заданную в неявном виде, а условие (2.7) является условием устойчивости неподвижной точки<sup>1</sup> точечного отображения (2.8).

4. В п. 2 качественно было показано что неустойчивость в системе с движущимися границами всегда сопровождается сжатием начального возмущения в импульсы. Процесс же формирования импульсов из заданных



Фиг. 4

начальных условий легко прослеживается при помощи метода итераций [3, 6]. Так, например, на фиг. 4 показан процесс формирования импульсов из синусоидальных начальных условий.

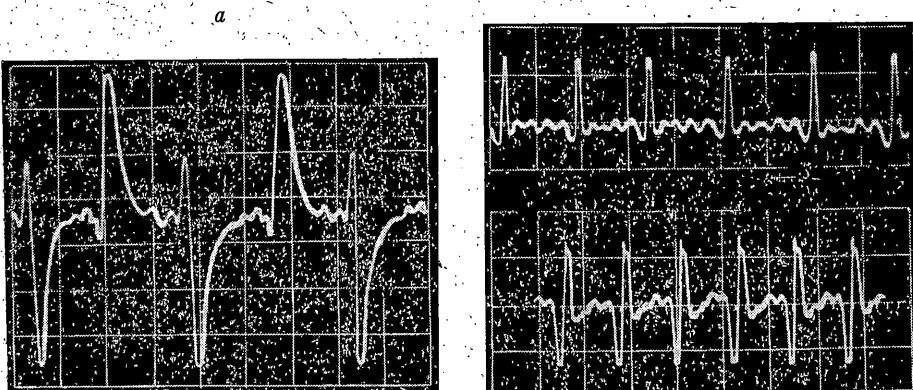
$$\varphi(0, x) = \Phi_0 \sin \frac{\pi x}{a_0}, \quad \frac{\partial \varphi(0, x)}{\partial t} = \frac{\pi c}{a_0} \Phi_0 \sin \frac{\pi x}{a_0} \quad (m=0, 1; \Omega = \frac{\pi c}{a_0})$$

Гармоническая волна  $f(z=t \pm x/c)$  с течением времени (фиг. 4, а) трансформируется в циркообразную и, следовательно, в ее спектре появляются все более высокочастотные составляющие. Максимальное же значение  $f(z)$  остается неизменным<sup>2</sup>. Производная от бегущей волны  $f'(z)$  представляет собой последовательность нарастающих по амплитуде однополярных импульсов (фиг. 4, б). Волны  $d\varphi/dt$  и  $d\varphi/dx$  преобразуются соответственно в последовательность двухполярных (фиг. 4, в) и однополярных (фиг. 4, г) импульсов. Расстояние между парой ближайших из них определяется временем пробега импульса от места наблюдения  $x_0$  до границы  $x=0$  и обратно.

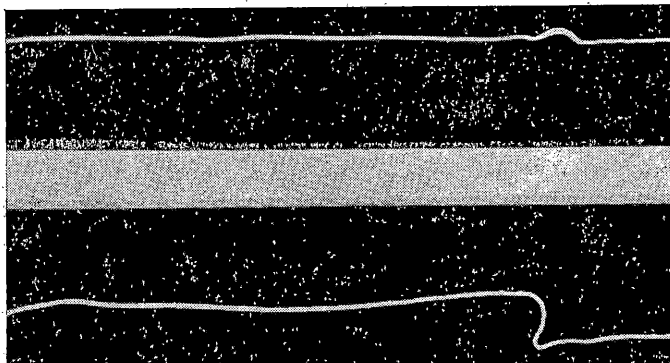
В рамках линейной модели длительность импульсов стремится к нулю, а их энергия к бесконечности. Установление формы импульсов (см. п. 5) связано с наличием и конкуренцией в реальной системе дисперсии и нелинейности, которые здесь не учитывались.

<sup>1</sup> Под неподвижной точкой (2.8) подразумевается постоянная фаза ( $\Omega t_k = \Omega t_i + 2\pi N$ ) взаимодействия волны с движущейся границей.

<sup>2</sup> Это напоминает эволюцию волны Римана [9, 10], однако механизм формирования здесь иной.



Фиг. 5



Фиг. 6

5. Волновые процессы в системе, изображенной на фиг. 1, моделировались на тонкой резиновой ленте ( $\sim 0.5$ – $0.7$  мм), которая натягивалась между двумя опорами. Подвижной границей служил поршень с узкой прорезью ( $\sim 1$ – $1.5$  мм), через которую проходила лента. Движение поршня осуществлялось при помощи кривошипно-шатунного механизма. Такая модель удобна тем, что в ней поперечные волны распространяются с небольшой скоростью ( $\sim 12$ – $13$  м/сек) при слабой дисперсии, нелинейности и диссиляции в широкой полосе частот<sup>1</sup>. Это позволило на относительно простой установке проверить все основные теоретические результаты, так как поведение поперечных волн в описанной системе определяется задачей, аналогичной (1.1)–(1.3). [<sup>3, 5</sup>]<sup>2</sup>. При этом под  $\varphi(x, t)$  следует понимать поперечное смещение ленты, положив  $v=0$ , так как в осевом направлении она неподвижна.

Экспериментальные исследования параметрической неустойчивости проводились в системе с одной колеблющейся границей  $x=a_0(1+m \sin \Omega t)$ . Коэффициент модуляции  $m=0.08$  при средней длине ленты  $a_0=85$  см и натяжении  $\sim 4$  н. Скорость распространения волн  $c=12.5$  м/сек; а первая собственная частота стационарной системы  $F_0=\Omega_0/2\pi=7.4$  гц.

Индикация колебаний осуществлялась микрофоном из пьезокерамики, установленным вблизи ленты, с клемм которого напряжение подавалось на осциллограф, а также визуально с использованием стробоскопического эффекта и скоростной съемки. В первом случае регистрировались осциллограммы производной от функции поперечного смещения в фиксированном сечении системы (фиг. 5), а во втором непосредственно наблюдались сами бегущие волны смещения (фиг. 6).

<sup>1</sup> Скорость сдвиговых волн в твердых телах превышает 1000 м/сек, что значительно затрудняет создание экспериментальной установки.

<sup>2</sup> См. также: Весникук А. И., Поганов А. И. Параметрическое возбуждение в одномерных системах с переменной длиной. Тр. VII Всесоюзного симпозиума по дифракции и распространению волн. Ростов-на-Дону, 1977.

Частота колебаний границы изменялась в пределах от 5 до 35 гц. ( $|a^*|=2.1-14.7 \text{ м/сек}$ ), что позволило экспериментально исследовать режимы параметрической неустойчивости в первых трех зонах и в области возбуждения ударных волн  $|a^*|>c$ .

Типичные осциллограммы колебаний, наблюдавшихся в сечении  $x_0=0.5a_0$ , приведены на фиг. 5, а (1-я зона,  $\Omega/\Omega_0=1.09$ ), фиг. 5, б (2-я зона,  $\Omega/\Omega_0=2$ ) и фиг. 5, в (3-я зона,  $\Omega/\Omega_0=3$ ). Здесь скорость развертки равна 20 мс/дел. Период повторения импульсов равен периоду колебаний границы, а их форма определяется местоположением в зоне неустойчивости. Так, например, несимметричность импульсов в первой зоне (фиг. 5, а) объясняется тем, что этот режим соответствует высокочастотной границе области возбуждения, когда скорость движущегося поршня при взаимодействии с импульсом уменьшается. Поэтому передний фронт, отражающийся от движущейся границы раньше, заметно круче заднего. В центрах зон возбуждаемые импульсы более симметричны (см. фиг. 5, б, в). Так как наблюдаемые на осциллографе импульсы являются суперпозицией двух волн, бегущих в противоположных направлениях, то их форма не одинакова в различных сечениях ленты.

На фиг. 6, а приведен снимок волны, возбуждаемой в первой зоне. Она представляет собой движущийся перепад пилообразной формы, что хорошо согласуется с результатами теоретического анализа (фиг. 4, а). Максимальная величина поперечного смещения ленты составляла в различных зонах неустойчивости от 0.5 до 1 см.

Количество гармоник  $n$ , содержащихся в импульсе, легко оценивается по известной связи между периодом повторения сигнала  $T$ , его длительностью  $\tau$  и шириной спектра  $\Delta\omega$ . Для треугольных импульсов  $n \sim T/2\tau$ , следовательно, в первой зоне, где  $T/\tau=11$ , импульсы состоят из 5-6 гармоник, во второй — из 4-5 и в третьей — из 3-4. Но несмотря на то, что количество гармоник в импульсе уменьшается с ростом номера зоны, его спектр становится шире  $\Delta\omega \sim n/T$ .

При частотах колебаний границы 29-30 гц ( $|a^*|>c$ ) в системе возбуждалась интенсивная ( $|\Phi|_{\max} \sim 5-6 \text{ см}$ ) ударная волна (фиг. 6, б). Характерно, что на ее фронте возникла S-образный перегиб (перехлест), который сглаживался по мере распространения волны в среде. Образование перехлеста напоминает «опрокидывание» простой волны в нелинейной среде без дисперсии [10]. Поэтому по расплыванию фронта ударной волны можно судить, например, о дисперсионных и диссипативных свойствах резины.

Представляется целесообразным отметить выявленные особенности параметрической неустойчивости в системах с движущимися границами.

В отличие от сосредоточенных систем в данном случае колебания усиливаются за счет двойного эффекта Допплера и всегда принимают форму импульсов (движущихся перепадов).

Рассмотренный механизм неустойчивости имеет место лишь при частотах колебаний границы, близких или кратных низшей собственной частоте соответствующей стационарной системы.

В процессе возбуждения энергия волны возрастает не за счет увеличения амплитуды отдельной гармонической составляющей, а в результате расширения ее спектра и переноса энергии из области низких в область высоких частот. Это, по-видимому, важно учитывать при расчетах реальных систем<sup>1</sup>, так как высокочастотные вибрации, поглощаясь материалом, приводят к более быстрому его износу.

Инкремент нарастания энергии увеличивается с ростом номера зоны, а порог возбуждения понижается, поэтому при наличии потерь в системе принципиально необходим учет высших зон неустойчивости.

В высших зонах экспериментально наблюдалось параметрическое деление частоты (прощадание одного, двух импульсов и т. д.). Эти эффекты, так же как и возбуждение ударных волн, не могут быть изучены в рамках линейной модели. Для их объяснения необходимо учитывать нелинейные и дисперсионные свойства системы.

Поступила 12 IX 1977

<sup>1</sup> Например, при динамических расчетах шахтных канатов, в которых скорость распространения поперечных волн составляет 100-200 м/сек, а скорости подъема груза достигают 12-16 м/сек [11].

## ЛИТЕРАТУРА

1. Тимошенко С. П. Колебания в инженерном деле. М., «Наука», 1967.
2. Каудерер Г. Нелинейная механика. М., Изд-во иностр. лит., 1961.
3. Весницкий А. И., Потапов А. И. Волновые явления в одномерных системах с движущимися границами. В сб.: Динамика систем. Изд-во Горьковск. ун-та, 1978, № 13.
4. Весницкий А. И., Потапов А. И. О некоторых общих свойствах волновых процессов в одномерных механических системах переменной длины. Прикл. механ., 1975, т. 11, № 4.
5. Весницкий А. И., Крысов С. В., Шохин С. Р. Параметрическое возбуждение импульсов в распределенных механических системах с нестационарными границами. ПМТФ, 1976, № 4.
6. Весницкий А. И., Потапов А. И. Поперечные колебания канатов в шахтных подъемниках. В сб.: Динамика систем. Изд-во Горьковск. ун-та, 1975, № 7.
7. Красильников В. Н., Панкратов А. М. Электромагнитные поля в резонаторах с колеблющейся границей. В сб.: Проблемы дифракции и распространения волн. Изд-во ЛГУ, 1968, № 8.
8. Андронов А. А., Витт А. А., Хайкин С. Э. Теория колебаний. М., Физматгиз, 1959.
9. Островский Л. А. Ударные волны и солитоны. Изв. вузов. Радиофизика, 1976, т. 19, № 5—6.
10. Руденко О. В., Солуян С. И. Теоретические основы нелинейной акустики. М., «Наука», 1974.
11. Горошко О. А.; Савин Г. Н. Введение в механику деформируемых одномерных тел переменной длины. Киев, «Наукова думка», 1971.